

تأثیر کربناته شدن بتن بر خوردگی میلگردهای فولادی - مرواری جامع بر ادبیات فنی

حسن خاکسار^۱، علی دوستی^۲

۱- دانشجوی کارشناسی ارشد مهندسی عمران - مدیریت ساخت دانشگاه آزاد دماوند

۲- عضو هیئت علمی مرکز تحقیقات راه، مسکن و شهرسازی

Email: cec.khaksar1370@gmail.com

چکیده

خوردگی میلگردهای فولادی در بتن از جمله رایج‌ترین خرابی‌ها در سازه‌های بتن مسلح بوده و یکی از مهمترین مشکلاتی است که مهندسان عمران امروزه در نگهداری سازه‌های بتن مسلح با آن مواجه می‌باشند. در سواحل جنوبی کشور مشکلات موجود در دستیابی بتن با پایایی مناسب و در نتیجه خرابی‌های ناشی از خوردگی میلگردهای فولادی در بتن، سالیانه خسارات مالی زیادی را به اقتصاد کشور تحمیل می‌کند. از طرف دیگر امروزه با گسترش روز افون شهرها و صنایع مختلف، میزان آلاینده‌های معلق در هوا روند روبروی افزایشی از خود نشان می‌دهند. در این میان، دی اکسید کربن به عنوان یکی از این آلاینده‌های مضر چه در مناطق شهری و چه دریایی نقش به سزاوی در تخریب سازه‌های بتن آرمه بازی می‌کند. در بیشتر مناطق آب و هوایی در سرتاسر دنیا دی اکسید کربن در حضور رطوبتی معادل با ۵۰ تا ۷۰ درصد، به درون حفرات مونینه بتن نفوذ کرده و با هیدروکسید کلسیم و هیدراتهای سیمان واکنش داده و تولید کربنات کلسیم می‌کند. پدیده کربنات‌سیون و تولید کربنات کلسیم به تنهایی آسیبی به بتن نمی‌رساند بلکه آنچه که منجر می‌شود تا همواره از این پدیده به عنوان یک عامل مخرب در سازه‌های بتنی یاد شود این است که این پدیده یا منجر به شروع خوردگی می‌شود و یا موجب تسریع و گسترش خوردگی در میلگردهای فولادی به کاررفته در سازه‌های بتنی می‌شود. در سال‌های اخیر مطالعاتی گسترده برای حل مشکلات ناشی از خوردگی بواسطه کربناته شدن بتن انجام شده است و این در حالی است که در مملکت ما با وجود دارا بودن خونرندۀ ترین محیط دریایی در دنیا و حجم زیاد آلاینده‌های موجود در اتمسفر، تحقیقات جامعی در این خصوص صورت نگرفته است.

در مقاله حاضر سعی بر آن است تا یک بار بصورت جامع مرواری بر مکانیزم‌های کربنات‌سیون بتن و خوردگی همزمان ناشی از کربنات‌سیون به همراه تغییرات ریزساختار بتن ناشی از رخداد این همزمان این دو پدیده پرداخته شود.

کلمات کلیدی: دوام بتن، کربناته شدن، خوردگی، میلگرد فولادی، یون کلراید، گاز CO₂

۱. مقدمه

بتن به عنوان یکی از مصالح بالتبه ارزان و پایا در محیط‌های دریابی و غیره می‌باشد که می‌توان با قالب‌بندی آن را به هر شکل هندسی مورد نظر درآورد. اما در بعضی موارد به دلایل طراحی ضعیف، ضعف در اجرا، کیفیت نامرغوب مصالح و شرایط محیطی لحاظ نشده در طراحی و یا ترکیبی از این عوامل، سازه بتن مسلح ساخته شده، کارایی مورد نظر را در دوره عمر مفید خود نخواهد داشت. در سال‌های اخیر تعداد زیادی از سازه‌های بتنی در مناطق دریابی کشورهای مختلف دنیا در اثر این عوامل دچار آسیب دیدگی و یا خرابی زودرس شده‌اند. کربناتسیون و خوردگی میلگردهای فولادی در بتن از جمله رایج‌ترین این خرابی‌ها در سازه‌های بتن مسلح بوده و یکی از مهمترین مشکلاتی است که مهندسان عمران امروزه در نگهداری سازه‌های بتن مسلح با آن مواجه می‌باشند.

در خاورمیانه نیز شرایط گرم آب و هوایی در محیط‌های دریابی، وجود غلظت بالای آلاینده‌های مختلف بخصوص گاز CO_2 به همراه نمک در آب‌های زیرزمینی مشکل خوردگی را افزایش داده است، همچنین ضعف در عمل آوری بتن باعث کم شدن عمر مفید این سازه‌ها شده است. در سواحل جنوبی کشور نیز مشکلات موجود در دستیابی بتن با پایایی مناسب و در نتیجه خرابی‌های ناشی از خوردگی میلگردهای فولادی در بتن، سالیانه خسارات مالی زیادی را به اقتصاد کشور تحمیل می‌کند. بنابراین با توجه به اینکه مساله عدم پایایی بتن در محیط‌های خورنده یکی از مشکلات اساسی در دنیا بوده و خوردگی میلگردهای فولادی در بتن ناشی از کربناته شدن بتن به همراه نفوذ یون کلراید از عوامل مهم تاثیرگذار بر پایایی آن می‌باشد، در سال‌های اخیر مطالعاتی گسترده برای حل مشکلات ناشی از آن انجام شده است. این در حالی است که در مملکت ما با وجود دارا بودن خورنده ترین محیط دریابی در دنیا، تحقیقات جامعی در این خصوص صورت نگرفته است. یون کلراید تحت ترکیبی از مکانیزم‌های مختلف (شامل مکش موئینه، انتشار، انتقال یونی، مهاجرت و غیره) به داخل بتن نفوذ می‌کند. در این میان انتشار یون‌های کلراید به داخل بتن مهمترین مکانیزمی است که برای قسمت‌های اشباع (مانند قسمت‌هایی از یک سازه بتنی که در زیر آب دریا قرار دارد) اتفاق می‌افتد. در دهه‌های گذشته مدل‌های بسیاری بر اساس مکانیزم انتشار پذیری یون‌های کلراید به داخل بتن تهیه شده و از آنها به منظور تخمين عمر مفید سازه‌های بتن‌آرمه استفاده می‌شود. اما مدل‌های بسیار دیگری هم موجودند که بر اساس مکانیزم انتقال ترکیبی طراحی شده‌اند و از آنها به منظور تخمين عمق نفوذ یون‌های کلراید در حالت غیراشباع استفاده می‌شود.

کربناتسیون، واکنش گاز دی‌اکسید کربن هوا با مواد قلیایی بتن می‌باشد. این پدیده تاثیر زیادی بر خوردگی آرماتورها در بتن خواهد داشت. اولین تاثیر آن کاهش pH بتن از مقدار طبیعی آن (بین ۱۳ و ۱۴) تا مقدار خشتش (۷) می‌باشد. در صورت عدم وجود یون کلراید در بتن از ابتدای ساخت، ترکیبات آب منفذی بتن کربناته شده تقریباً همانند آب خالص می‌باشد. این به آن معناست که مکانیزم خوردگی آرماتور در بتن کربناته شده در هوا (عاری از یون کلراید)، همانند خوردگی با آب خالص می‌باشد. اما چنانچه یون کلراید به طریقی وارد منفذ موئینه خمیر سیمان گردد مکانیزم همزمان کربناتسیون و انتقال یون کلراید حاکم خواهد بود. تاثیر دیگر کربناتسیون بتن، احتمال آزادسازی یون کلراید مقید (بصورت هیدرات‌های کلسیم کلروآلومینات و سایر ترکیبات آن با فازهای هیدراتسیون) می‌باشد که موجب گزندبارتر شدن آب منفذی می‌گردد. بنابراین در نظر گرفتن فرآیند کربناتسیون بتن به همراه مکانیزم انتقال و نفوذ یونهای کلراید به داخل بتن در مدل‌های تخمين عمر مفید سازه‌ها از درجه اهمیت بالایی برخوردار خواهد بود. به همین منظور لازم است تا پیش از آن در ابتدا به شناخت کافی در زمینه فرآیند کربناتسیون، فرآیند نفوذ و انتشار یونهای کلراید و سپس حضور این دو در کنار یکدیگر پرداخته شود و سپس در گام بعد در خصوص وارد نمودن تاثیر آن‌ها در مدل‌های تخمين عمر مفید سازه‌ها اقداماتی صورت پذیرد [۱].

۲. کربناتسیون بتن

بطور کلی در فرآیند کربناته شدن بتن گاز CO_2 از اتمسفر به داخل حفرات بتن نفوذ کرده و با ماتریس سیمانی وارد واکنش می‌گردد. در این واکنش گاز CO_2 از فاز گازی به کمک یک فاز آبی به فاز جامد تبدیل می‌شود (رابطه ۱)



بسیاری از محققین این فاز آبی را ملاک قرار نداده و واکنش کربناتسیون را بصورت ذیل بیان می‌کنند [۲-۴].



همانطور که مشاهده می گردد در این فرآیند با تشکیل کربنات کلسیم (کلسیت) و ژل های غنی از سیلیس انتظار می رود مقدار pH بتن تا حدود ۸ پایین آید [۵-۶]. از آنجائیکه لایه مقاوم بر روی میلگرد فولادی با کاهش pH بتن از بین خواهد رفت (معمولآ برای pH های زیر ۱۲ این لایه از بین خواهد رفت) بنابراین کربناسیون شرایط را برای خوردگی میلگردهای فولادی آماده یا تسريع می بخشد. بر اساس محاسبات انجام شده هزینه خوردگی سازه های فولادی و بتنه که هرساله مخارج سنگینی را بر دوش کشورها تحمیل می کند حدود ۳ تا ۵ درصد تولید ناخالص داخلی تخمین زده شده است. در همین راستا بر اساس ادبیات فنی موجود هزینه ناشی از خوردگی در کشور آفریقای جنوبی حدود ۵/۲ درصد تولید ناخالص داخلی، ژاپن ۱/۰۲ درصد و در کشور آمریکا ۳/۱ الی ۴/۲ درصد برآورده است [۷-۱۰]. اینکه چه عاملی و چگونه موجب کربناسیون بتنه می گردد دهه ها است که مورد بررسی و مطالعه قرار گرفته است اما کاربرد این یافته ها در طراحی عمر مفید سازه ها کمتر مورد توجه واقع شده است. بطور کلی پارامترهای موثر بر کربناسیون بتنه عبارتند از: رطوبت نسبی، نوع سیمان، عمل آوری، غلظت گاز CO_2 ، دما، نوع و کیفیت بتنه، نوع قرارگیری در معرض شرایط محیطی (شامل قرارگیری در معرض بارش یا قرارگیری در زیر سایبان).

براساس استاندارد EN ۲۰۶-۱ برای بتنه ۴ رده رویارویی در نظر گرفته شده است که قرار گرفتن سازه بتنه در هر یک از این رده ها می تواند منجر به خوردگی ناشی از کربناسیون گردد.

- رده اول (XC1) عبارتست از مواجه دائمی سطح بتنه با شرایط کاملاً خشک (همچون سطوح داخلی ساختمان) یا کاملاً مرطوب و خیس (همچون قرارگیری در زیر آب)

- رده دوم (XC2) عبارتست از مواجهه سطح بتنه با رطوبت برای مدت طولانی (همچون سیستم های زهکش آب باران)

- رده سوم (XC3) شامل مواجه یا قرارگیری سطوح بتنه در آب و هوایی با رطوبت متوسط (بتنه در سطوح خارجی قرار گرفته در زیر سایبان)

- رده چهارم (XC4) شامل مواجه بتنه یا سازه بتنه با سیکل های متناوب تر و خشک شدن (همچون سطوح بتنه خارجی در مواجهه با بارندگی) بر اساس گزارش های موجود ناشی از تحقیقات گسترده درخصوص مشخصات مکانیکی و دوام بتنه بعد از رخداد کربناسیون یادآوری شده است که کربناسیون موجب کاهش نفوذپذیری و انتشارپذیری [۱۱-۱۳]، افزایش مشخصات مکانیکی، افزایش مقاومت الکتریکی و کاهش نفوذ یون کلراید شده است [۱۸-۲۰]. از طرفی کربناسیون موجب کاهش آستانه خوردگی و نهایتاً کاهش مقاومت در برابر خوردگی خواهد شد [۲۱-۲۲].

۳. عوامل موثر بر کربناته شدن بتنه

۱.۳. تاثیر پوزولان ها

بطور کلی براساس مطالعات مختلف موجود در ادبیات فنی مشاهده شده است که استفاده از پوزولان ها موجب کاهش مقاومت بتنه در برابر کربناته شدن خواهد شد [۲۱-۲۶]. به همین منظور استفاده از این مواد سیمانی، از طرفی موجب بهبود ریزاساختار بتنه و بهبود پارامترهای مربوط به دوام بتنه خواهد شد و از طرف دیگر موجب افزایش رسیسک خوردگی میلگردها بر اثر کربناته شدن بتنه خواهد شد [۵].

همانطور که پیشتر ذکر شد با نفوذ گاز CO_2 به داخل بتنه ابتدا Ca(OH)₂ مورد حمله و مصرف واقع شده و پس از آن ژل CSH موردنمود شد، بنابراین با این تفاسیر، عملکرد پوزولان ها در برابر پدیده کربناسیون به دو صورت خواهد بود بطوريکه در درجه اول به دليل مصرف CH در فرآیند واکنش پوزولانی، استفاده از پوزولان ها موجب افزایش نرخ کربناسیون می گردد و از طرف دیگر با تشکیل ژل CSH باز به دليل همان واکنش پوزولانی و بهبود ریزاساختار بتنه، استفاده از پوزولان موجب کاهش نرخ و عمق کربناسیون خواهد شد. Park و همکاران [۲۷] در تحقیقات خود نشان دادند که با مصرف هرچه بیشتر پوزولان، عمق کربناسیون بتنه افزایش خواهد یافت. این محققین معتقدند که با مصرف پوزولان، قلایت آب حفره ای کاهش یافته و ژل CSH تشکیل یافته، مقدار قلایی بیشتری جذب خواهد کرد بنابراین pH بتنه کاهش خواهد یافت. درخصوص عملکرد خاکستر بادی، بر اساس مطالعات Khunthongkeaw و همکاران [۲۸] مشاهده شد که با کاهش نسبت آب به سیمان و یا کاهش مقدار جایگزینی خاکستر بادی در بتنه مقاومت در برابر کربناته شدن و نهایتاً عمق کربناته شدن کاهش یافته است. همچنین افزایش مقدار CaO در خاکستر بادی موجب کاهش عمق کربناسیون شده است. Ho و Lewis [۲۹] مشاهده کردند که استفاده از خاکستر بادی نیز موجب افزایش عمق کربناسیون بتنه خواهد شد. Nagataki و Kokubu [۳۰] گزارش کردند که عمق کربناسیون بتنه حاوی خاکستر بادی با افزایش رده مقاومتی بتنه کاهش یافته است. Ogha و Nagataki [۳۱] گزارش جایگزینی بیشتر خاکستر بادی به جای سیمان مقدار عمق کربناسیون افزایش یافته است. درخصوص عملکرد دوده سیلیس بر اساس تحقیقات Skjolsvold

[۳۲] و Grimaldi [۳۳] مشاهده گردید که استفاده از دوده سیلیس موجب افزایش عمق کربناتیون بتن شده است. Khan و Lynsdale [۳۴] نمودند که استفاده از دوده سیلیس اندکی عمق کربناتیون بتن را افزایش خواهد داد. براساس مطالعات P. Kulakowski [۳۵] درخصوص رفاقت بتن حاوی دوده سیلیس (با آب به سیمان ۰/۸ الی ۰/۱۰ و مقدار دوده سیلیس صفر الی ۲۰ درصد) در برابر کربناتیون و ریسک خوردگی ناشی از آن مشاهده شد که برای نسبت های آب به مواد سیمانی معادل یا کمتر از ۰/۵، فرآیند کربناتیون توسط تخلخل طرح مخلوط و بتن سخت شده کنترل خواهد شد و مقدار مصرف Ca(OH)_2 خیلی تاثیرگذار خواهد بود اما برای آب به سیمانهای بیشتر از ۰/۵ پارامتر کلیدی میزان CH موجود یا مصرف شده تعریف گردید. در همین تحقیق نتایج حاصل از خوردگی میلگردهای فولادی حاکی از آن است که تاثیر دوده سیلیس وابسته به مقدار جایگزینی آن دارد بطوریکه برای جایگزینی های کمتر از ۱۰ درصد دوده سیلیس مقاومت در برابر خوردگی را کاهش نخواهد داد بلکه می تواند تا حدی موجب افزایش مقاومت بتن در برابر خوردگی گردد اما برای جایگزینی های بیشتر از ۱۰ درصد نتایج حاکی از افزایش ریسک خوردگی ناشی از کربناته شدن بتن می باشد. درخصوص روباره و Kawamura Tori [۳۶] معتقدند که رفتار بتن حاوی روباره در برابر کربناته شدن مشابه با بقیه پوزولان ها می باشد بطوریکه آزمایش های آنها حاکی از آن است که عمق کربناتیون طبیعی بعد از یک سال برای بتن حاوی سریاره ۰/۳ میلیمتر محاسبه شده است در حالیکه همین عدد برای بتن شاهد ۰/۲ میلیمتر بدست آمده است. در مطالعه Gruyaert و همکاران بر روی کربناتیون مخلوط های حاوی روباره مشاهده شد که کربناتیون بتن با افزایش مقدار جایگزینی روباره افزایش خواهد یافت [۳۷]. مطالعات مختلف دیگری مطابق جدول ۱، مشاهده شده است که استفاده از پوزولان ها به دو دلیل عده موجب کاهش مقاومت بتن در برابر کربناته شدن می گردد که عبارتند از: ۱) افزایش تخلخل خمیر سیمان در سنین اولیه (به دلیل کاهش مقدار کلینکر) و ۲) کاهش مقدار CH در خمیر سیمان به دلیل واکنش پوزولانی [۳۹]. همچنین مقاومت در برابر کربناتیون برای بتن حاوی مواد فعال شده با قلایی ها نیز از خمیر سیمان معمولی کمتر گزارش شده است [۳۹].

جدول ۱- تاثیر مواد سیمانی مختلف بر کربناته شدن بتن [۳۹]

منبع	نوع مواد سیمانی	مقدار جایگزینی (%)	مقاومت در برابر کربناته شدن
[۳۰، ۶۸، ۳۵، ۸۵، ۹۲، ۹۳]	خاکستر بادی	۱۰-۷۰	کاهش
[۹۴]	خاکستر بادی	۰-۴۰	کاهش
[۶۸، ۳۴]	روباره	۰-۸۵	کاهش
[۹۵، ۹۴]	دوode سیلیس	۰-۲۰	کاهش
[۶۸]		۵-۱۰	افزایش
[۹۶]	نانو و پودر سیلیس	۰-۵	افزایش

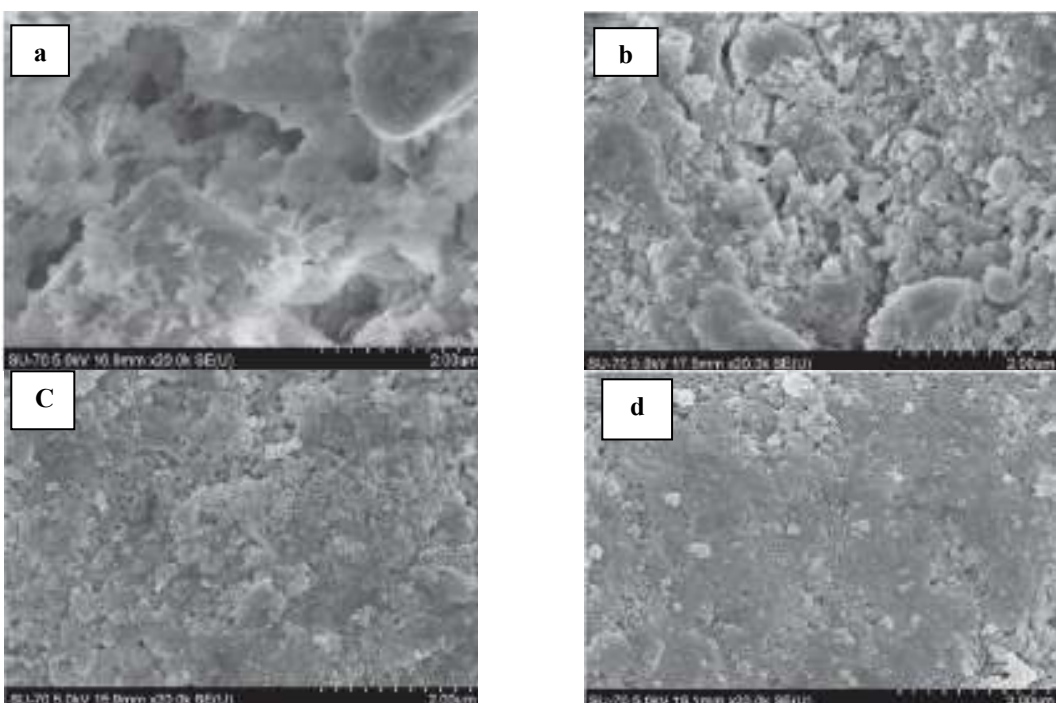
۴. تاثیر کربناته شدن بر ریزاساختار بتن

براساس مطالعات مختلف مشاهده شده است که در نتیجه کربناتیون خمیر سیمان، تخلخل خمیر سیمان دستخوش تغییراتی خواهد شد که مطالعات مختلف نشان داده این تغییرات یا در جهت کاهش تخلخل و کاهش اتصال و ارتباط میان حفرات خمیر سیمان خواهد بود (درخصوص خمیر سیمان پرتلند) [۴۰-۴۴] و یا در جهت افزایش تخلخل کلی در مخلوط خمیر سیمان به همراه پوزولان خواهد بود [۴۵-۴۶] (خمیر سیمان های آمیخته). براساس مطالعات موجود کربناتیون موجب کاهش نفوذپذیری و تخلخل و افزایش مشخصات مکانیکی مخلوط های سیمانی خواهد شد [۴۷-۴۹]. بر اساس نتایج حاصل از تحقیقات موجود، مشخص شده است که CO_2 قادر خواهد بود تا پرتلندیت و ژل CSH و اکتش داده و موجب کربناته شدن هر دو شود [۵۰]. براساس تحقیقات Borges [۵۱] درخصوص میزان مشارکت CSH در تشکیل کلسیت مشاهده کرد که کربناته شدن CSH در مخلوط هایی که دارای CH اولیه کمتری هستند (همچون جایگزینی زیاد سریاره) بسیار بیشتر است.

تاثیر کربناتیون بر تخلخل خمیر سیمان: بر اساس مطالعات Leemann و همکارانش مشاهده شد که با کربناته شدن ملات یا خمیر سیمان، ساختار حفرات موئینه تغییر بافته و با تشکیل کلسیت CaCO_3 و تجزیه C-S-H عملاً تخلخل آزمونه در لایه کربناته شده کاهش خواهد یافت با این تفاوت که

حفرات موئینه درشت تر خواهد شد (در حالیکه مشاهدات حاکی از آن است که برای آزمونه دارای روباره عکس آن اتفاق افتاده است). درشت شدن حفرات موئینه ممکن است که به تشکیل سیلیکا ژل های اضافی به دلیل تجزیه CSH مرتبط گردد [۵۲] و می تواند بر انتشارپذیری موثر واقع شود بطوریکه با کربناته شدن خمیر سیمان مقدار نفوذپذیری و انتشار گاز اکسیژن برای آزمونه های مختلف افزایش یافته است. همین رفتار و افزایش انتقال گاز اکسیژن پس از کربناته شدن برای نفوذ آب نیز مشاهده گردیده است [۵۳]. Ngala [۵۲] معتقدند که کربناسیون موجب تغییر ساختار حفرات خمیر سیمان خواهد شد بطوریکه تخلخل کلی کاهش می یابد اما نسبت حفرات موئینه بزرگ (دارای قطر بزرگتر از ۳۰ نانومتر) افزایش می یابد به همین منظور ضریب انتشارپذیری یون کلراید بعد از کربناسیون افزایش خواهد یافت.

به جهت مقایسه ریزساختار بنز کربناته نشده با آزمونه های بتی کربناته شده با درصدهای مختلف از غلظت گاز CO_2 از تصاویر گرفته شده توسط میکروسکوپ الکترونی استفاده شده است. مطابق تصاویر موجود (شکل ۱)، مشاهده می گردد که آزمونه کربناته نشده حاوی هیدرات ها و ژل CSH می باشد که بصورت منظم همراه با تخلخل و حفرات موئینه تشکیل شده است. مقدار حفرات موجود در آزمونه شاهد تخلخل سنج چیوه ای (MIP) برابر با ۱۱/۲ درصد محاسبه گردید. با مشاهده تصویر آزمونه بتی در معرض گاز CO_2 با غلظت ۱۰ درصد مشاهده می گردد که بافت آزمونه متراکم تر و حفرات توسط CaCO_3 پر شده اند بطوریکه در این حالت تخلخل آزمونه توسط آزمون نفوذ چیوه (MIP) برابر ۸/۸ درصد محاسبه شد. به همین صورت بافت بتی برای آزمونه در معرض غلظت گاز CO_2 ۲۰ و ۵۰ درصد متراکم تر شده و حفرات تا حد زیادی توسط محصولات کربناسیون پر شده اند بطوریکه میزان تخلخل آزمونه بتی به ترتیب ۸/۷ و ۸/۱ درصد محاسبه گردید [۵۴].



شکل ۱- تصاویر میکروسکوپ الکترونی از آزمونه بتی (a) کربناته شده تحت معرض گاز CO_2 با غلظت ۱۰ درصد (c) کربناته شده تحت معرض گاز CO_2 با غلظت ۲۰ درصد و (d) کربناته شده تحت معرض گاز CO_2 با غلظت ۵۰ درصد [۵۴]

تأثیر کربناسیون بر خصوصیات انتقالی خمیر سیمان: کربنات کلسیم که محصول فرآیند کربناسیون خمیر سیمان می باشد از حلالیت اندکی برخوردار است و در مسدود کردن حفرات (حتی الامکان در مراحل ابتدایی کربناسیون) مشارکت فعالی خواهد داشت [۵۵]. هرچند رخداد انواع ریزتر که ها کار را برای پیش بینی تغییر در خصوصیات انتقال مایعات و گازها از درون خمیر سیمان کربناته شده سخت خواهد کرد [۵۵]. در همین راستا Houst و Wittmann مشاهده کردند که آزمونه های کربناته شده نسبت به آزمونه های کربناته نشده از جذب آب کمتری برخوردارند [۵۵]. Page و Ngala [۵۲] مشاهده کردند که آزمونه های مورد مطالعه پس از کربناته شدن از ضرایب انتشارپذیری یون کلراید بیشتری (در حدود دو برابر) در مقایسه با آزمونه

های کربناته نشده برخوردار هستند. همچنین آزمونه های کربناته شده دارای ضریب نفوذ اکسیژن بیشتری نسبت به آزمونه های شاهد می باشد. Borges و همکاران [۵۵] متوجه شدند که آزمونه های حاوی ۷۵ الی ۹۰ درصد روباره در اثر کربناته شدن دچار ترک های گسترده شده اند و به همین دلیل نفوذ اکسیژن در آنها افزایش یافته است. در واقع با رخداد کربناسیون به دلیل کاهش تخلخل کلی بتن، کربناسیون در درجه اول موجب کاهش نفوذپذیری خواهد شد و در ادامه با افزایش نسبت حفرات موئینه با اندازه بزرگتر از ۳۰ نانومتر، موجب تغییر توزیع حفرات در سطح بتن خواهد شد [۵۶]. به علت افزایش تخلخل موئینه، ادامه فرآیند کربناسیون موجب افزایش انتشارپذیری یونها از طریق ماتریس سیمانی و نهایتاً موجب افزایش نفوذپذیری خواهد شد. همه این اتفاقات می توانند موجب جمع شدگی ناشی از کربناسیون و در ادامه ایجاد ریزترک ها در سطح بتن نیز شود.

تفییرات مشخصات مکانیکی: به نظر می آید که کربناسیون بتن منجر به افزایش اندکی در مقاومت فشاری و کششی می گردد [۵۵]. محققین معتقدند که دلیل این افزایش به کاهش تخلخل و تغییرات ساختاری در ژل CSH مربوط می شود. به نظر می آید در نتیجه تغییرات نامبرده شده مدول الاستیک بتن نیز تغییر یابد و اندکی افزایش نشان دهد. از طرفی دیگر کربناسیون سطوح بتنی موجب به اشتباہ انداختن ما در نتایج آزمون های غیر مخبر همچون چکش اشیت خواهد شد بطوریکه معمولاً سطح کربناته شده از بازگشت بیشتری برخوردار بوده و به اشتباہ مقاومت بیشتری گزارش خواهد شد.

تأثیر کربناسیون بر جمع شدگی و ترک خودگی ناشی از کربناسیون: گاهی کربناسیون خمیر سیمان منجر به جمع شدگی آن خواهد شد [۵۵]. مکانیزم جمع شدگی ناشی از کربناسیون در حال حاضر خیلی مشخص نیست و همواره در حال نقد و بررسی می باشد بطوریکه عده ای معتقدند که این نوع جمع شدگی ناشی از کربناسیون ژل CSH می باشد [۵۵] در حالیکه تعدادی دیگر معتقدند که حداقل بخشی از آن ناشی از کربناته شدن CH می باشد [۵۷]. Sereda و Swenson [۵۷] مکانیزم جمع شدگی ناشی از کربناسیون CH مشابه با مکانیزم جمع شدگی ناشی از خشک شدن می باشد در واقع در این حالت نیز عامل جمع شدگی گرادیان رطوبتی است بطوریکه با کربناته شدن CH، علاوه بر کربنات کلسیم مقداری آب درون حفرات تشکیل می گردد که این رطوبت در لایه تشکیل شده از کربنات کلسیم در مجاورت CH می ماند و رطوبت های خارج از این لایه به دلیل شرایط محیطی تبخیر و خشک می گردد بنابراین گرادیان رطوبتی بوجود آمده منجر به ترک خودگی خواهد شد. Chen و همکاران [۵۸] معتقدند که جمع شدگی ناشی از کربناسیون، در واقع جمع شدگی ناشی از کلسیم زدایی ژل CSH است. همانطور که پیش تر توضیح داده شد کربناسیون ژل CSH با کاهش نسبت Ca/Si همراه است. در این حالت درجه پلیمریزاسیون به دلیل ازین رفتن یون کلسیم در لایه داخلی برای نسبت Si/Ca کمتر از ۱/۲ افزایش می یابد. بنابراین شکل هندسی آن از حالت فرآکال (Ca/Si=۱,۷) بصورت صفحه ای ($Ca/Si < 1,1$) درخواهد آمد. همچنین کلسیم زدایی موجب تغییر در مقدار گروه های هیدروکسیل خواهد شد. بنابراین دلیل اصلی جمع شدگی در این مکانیزم پلیمریزاسیون زنجیره سیلیکاتی در ژل CSH می باشد.

۵. عوامل موثر بر فرخ کربناته شدن بتن

بطور کلی نفوذ CO₂ به داخل بتن وابسته به پارامترهای مختلفی همچون غلظت CO₂، دمای محیط، تخلخل و مقدار رطوبت حفرات موئینه خمیر سیمان و پارامترهای دیگر که در ادامه بصورت مفصل توضیح داده خواهد شد وابسته می باشد [۵۵]. به عنوان یک اصل کلی، مطمئن ترین آزمون جهت شناسایی و تحقیق بر روی کربناسیون بتن، قرار دادن آزمونه های بتنی در محیط طبیعی و کربناته شدن آنها در طول زمان است که متناسبانه زمان برخواهد بود به همین دلیل در اکثر تحقیقات از روش های تسریع شده استفاده شده است. به عنوان مثال در نرم افزار DURACRETE [۵۹] از غلظت ۲ درصد حجمی برای CO₂ استفاده شده است. در استاندارد اروپایی EN ۱۳۲۹۵ ادعای شده است که محصولات تشکیل یافته ناشی از کربناسیون تسریع یافته بتن تحت غلظت ۱ درصدی از CO₂ و دمای (۲۱±۲) درجه سلسیوس و رطوبت نسبی (۶۰±۱۰) با محصولات تشکیل یافته از آزمونه هایی که بطور طبیعی کربناته شده اند یکسان است.

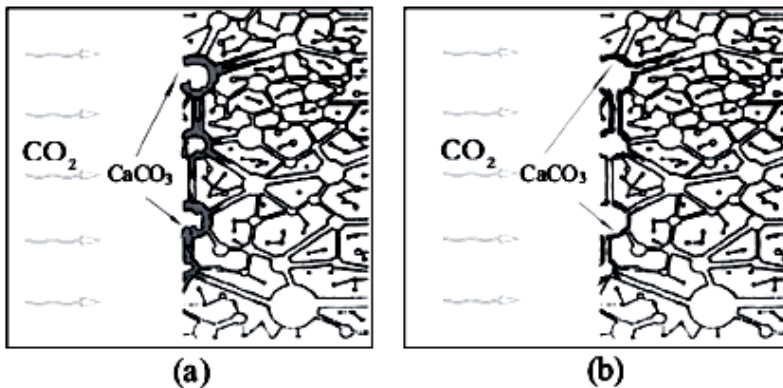
ساختمان و اجزای بتن: در حال حاضر هیچگونه رابطه ای میان اجزاء طرح مخلوط بتن و انتشارپذیری گاز CO₂ موجود نمی باشد. تنها رابطه موجود این است که بطور کلی انتشارپذیری CO₂ در مخلوط های سیمانی کنترل از اکسیژن انجام می پذیرد [۵۳]. Leeman و همکارانش درخصوص رابطه میان کربناسیون بتن و ضریب نفوذپذیری گاز اکسیژن در حالت کلی رابطه منظمی پیدا نکردند بطوریکه به عنوان مثال برای طرح حاوی روباره (S-65) کمترین نفوذ اکسیژن و در عین حال بیشترین ضریب کربناسیون بدست آمد. بنابراین متناسبانه در حال حاضر هیچگونه رابطه منظمی میان طرح اختلاط بتن و ضریب کربناسیون در بتن موجود نمی باشد اما در حالت کلی اثبات شده است که ضریب انتشار CO₂ در بتن آهسته تر از O₂ می باشد [۴۵].

دما: بطور کلی افزایش دما باعث می شود تا همه واکنش ها سرعت یابند. در مورد کربناته شدن وضع کمی فرق خواهد کرد زیرا افزایش دما چنانچه همراه با کاهش رطوبت در بتن باشد می تواند موجب کاهش کربناته شدن گردد.

روطومت: در دنیا جهت بررسی مقاومت بتن در برابر کربناته شدن معمولاً از آزمون های تسریع شده با درصد های مختلف CO_2 و رطوبت نسبی ۵۰ الی ۷۰ درصد استفاده می شود که بطور قطع به دلیل تسریع فرآیند نسبت به آزمون های واقعی دارای مقداری خط خواهد بود [۵۳]. نرخ کربناتسیون در بتن به نرخ CO_2 به داخل حفرات بتن و همچنین میزان رطوبت نسبی حفرات موئینه در خمیر سیمان وابسته است. نرخ نفوذ و انتشار گاز CO_2 در هوا تقریباً ۱۰۰۰ برابر آب می باشد بنابراین برای رطوبت های نسبی کم (کمتر از ۵۰ درصد) انتشار CO_2 در بتن بسیار بالاتر است اما رطوبت کافی برای انجام واکنش موجود نمی باشد. بنابراین همواره رطوبت نسبی بین ۵۰ الی ۷۰ درصد برای کربناته شدن بتن مطلوب است. کربناتسیون بتن به پارامترهای مختلفی وابسته است به عنوان مثال برای بتنه با نسبت آب به سیمان ۰/۶ مقدار کربناتسیون بتن بعد از ۱۵ سال ۱۵ میلیمتر محاسبه شده است در حالیکه برای همین بتنه نسبت آب به سیمان ۰/۴۵ جهت کربناته شدن به میزان ۱۵ میلی متر نیاز به مدت زمان ۱۰۰ سال می باشد [۶۰]. محققین مختلفی معتقدند که عمق کربناتسیون بتن گردد [۶۱-۶۲]. بتنه بطور مستقیم با کیفیت بتنه وابسته می باشد به عنوان مثال افزایش نفوذپذیری بتنه می تواند منجر به افزایش عمق کربناتسیون بتن گردد [۶۳]. Bohm و Muntean معتقدند که کربناتسیون بتنه شدیداً وابسته به میزان تخلخل بتنه می باشد زیرا تخلخل های بتنه همان مسیرهای نفوذ CO_2 به داخل بتنه می باشد [۶۴]. هرچند این نظریه برخلاف نتایج حاصل از مطالعات Schutter و Audenaert می باشد [۶۴]. بر اساس نتایج مطالعات Roziere و همکارانش میان عمق کربناتسیون بتنه و پارامترهای دیگری همچون تخلخل بتنه، انتشار یون کلراید و نفوذپذیری در برابر گاز هیچگونه ارتباطی موجود نمی باشد [۶۵].

غلظت گاز CO_2 : درخصوص تاثیر غلظت گاز CO_2 بر نفوذ و انتشار آن به داخل بتنه، بطور کلی نرخ نفوذ و انتشار گاز CO_2 به داخل بتنه مادامیکه غلظت گاز CO_2 کمتر از ۲۰ درصد باشد، با افزایش غلظت CO_2 افزایش می یابد. دلیل اصلی برای این اتفاق این است که هم انتشار گاز CO_2 به داخل بتنه و هم سرعت واکنش شیمیایی در نتیجه فرآیند پیش رونده کربناتسیون با افزایش های زیاد غلظت CO_2 (بیشتر از ۲۰ درصد) کاهش می یابند. درخصوص غلظت گاز CO_2 در تحقیقات مختلف موجود در ادبیات فنی (مطابق جدول ...)، محققین اندکی از شرایط محیطی طبیعی و یا غلظت نرمال CO_2 در اتمسفر (۰/۰۳ درصد) در تحقیقات خود بهره برده اند و بیشتر مطالعات بر پایه مطالعات آزمایشگاهی و غلظت های زیاد یا خیلی زیاد می باشد. بر اساس مطالعات Dhire و همکاران اثبات شده است که بین نتایج آزمونه هایی که در شرایط نرمال (غلظت CO_2 برابر با ۰/۰۳۵ درصد) کربناته شده اند با آزمونه هایی که تحت غلظت ۴ درصدی از CO_2 کربناته شده اند تفاوت چندانی موجود نمی باشد. Castellote و همکارانش [۵۴] به بررسی تعییرات شیمیایی و تحلیل فازهای تشکیل شده بر روی آزمونه های واقع در غلظت های ۳ تا ۱۰۰ درصد از گاز CO_2 پرداختند و نتایج حاصل را با آزمونه هایی که بطور طبیعی در غلظت ۰/۰۳ درصدی کربناته شده بودند مقایسه نمودند. نتایج آزمون ها نشان داد که کربناته شدن آزمونه ها منجر به یک پلیمریزاسیون پیش رونده از ژل CSH شده و منجر به تشکیل یک ژل کلسیم سیلیکات اصلاح شده و کربنات کلسیم شده است. در واقع کربناتسیون CSH و CH همزمان انجام شده و پلیمریزاسیون CSH بعد از کربناته شدن با افزایش غلظت CO_2 افزایش یافته است بطوریکه وقتی غلظت ها از ۱۰ به ۱۰۰ می رسد تقریباً همه CSH ناپدید شده است. بنابراین با تمام این تفاسیر مطابق شکل ۲، زمانیکه یک آزمونه بتنه در معرض غلظت های زیادی از گاز CO_2 قرار می گیرد در مرحله اول نفوذ و انتشار گاز به داخل بتنه با سرعت صورت می پذیرد در همین مرحله با انجام واکنش های شیمیایی با همان سرعت ذکر شده و تشکیل محصولات حاصل از کربناتسیون عملاً حفرات موئینه در سطح بتنه از محصولات هیدراسیون پر شده و اجازه نفوذ و انتشار بیشتری از گاز CO_2 به داخل بتنه داده نمی شود و فرآیند کربناتسیون به تدریج کند و کندتر خواهد شد در حالیکه برای غلظت های کمتر مطابق شکل ۲، فرآیند نفوذ و انتشار واکنش های شیمیایی با سرعت کمتری انجام می شود بنابراین گاز CO_2 به راحتی به لایه های داخلی خمیر سیمان نفوذ خواهد کرد و عمق کربناتسیون با گذشت زمان بیشتر و بیشتر خواهد شد.

نوع سیمان: نوع سیمان هم از جمله پارامترهایی است که بر روی روند کربناتسیون نقش به سزاوی دارد به طوری که گنجایش بتنه به منظور تثیت کردن گاز دی اکسید کربن متناسب با میزان قلایتی است که بتنه دارد. از آنجایی که بخش اعظم قلایت بتنه مربوط به هیدروکسید کلسیم می باشد لذا با افزایش هیدروکسید کلسیم سرعت کربناتسیون کاهش خواهد یافت. کربناته شدن بتنه هایی که در آنها از سیمان معمولی استفاده می شود نسبت به بتنه هایی که از سیمان ضد سولفات، سیمان با حرارت زایی کم و یا درصدی از پوزولان استفاده می کنند کمتر مشاهده می شود. دلیل این است که زمانی که از سیمان پرتلند معمولی استفاده می کنیم میزان Cr_2S در سیمان معمولی (به عنوان یکی از اجزای اصلی به منظور تولید هیدروکسید کلسیم در فرآیند هیدراتاسیون سیمان) بیشتر از سیمان ضد سولفات و سیمان با حرارت زایی کم خواهد بود به همین منظور در سیمان پرتلند معمولی انتظار تشکیل هیدروکسید کلسیم بیشتر و کربناته شدن بیشتری خواهیم داشت.



شکل ۲- مکانیزم نفوذ و انتشار گاز CO_2 به داخل بتن برای (a) غلظت های زیاد از CO_2 و (b) برای غلظت های کم از CO_2

تأثیر عمل آوری: براساس گزارش های موجود در ادبیات فنی مشاهده شده است که شرایط عمل آوری بتن با/بدون خاکستر بادی بر عمق کربناتیون بتن موثر می باشد (شکل ۲). بر اساس تحقیقات انجام شده مشاهده گردید که ۷ روز عمل آوری داخل آب به همراه ۲۱ روز عمل آوری در اتاق با رطوبت ۷۵ الی ۸۵ درصد بهترین شرایط برای کاهش کربناتیون و ۲۸ روز عمل آوری داخل آب بدترین شرایط عمل آوری به لحاظ کربناتیون بتن خواهد بود [۵۵].



شکل ۲- تأثیر عمل آوری بر عمق کربناتیون بتن- ردیف بالا عمل آوری با رطوبت ۵ درصد، ردیف پایین ۲۴ ساعت عمل آوری داخل آب

Bai و همکارانش مشاهده کردند که با افزایش مدت عمل آوری از ۱ به ۳ روز، عمق کربناتیون کاهش یافته است [۶۶]. از طرف دیگر Balayssac و همکاران [۶۷] گزارش نمودند که عمل آوری با آب موجب کوچکتر شدن حفرات موئینه در بتن و نهایتاً کاهش جذب موئینه و عمق کربناتیون در بتن می گردد. محققین دیگری [۶۸] مشاهده کردند که با عمل آوری در آب عمق کربناتیون بتن نصف خواهد شد.

شرایط رویارویی المان بتونی: شرایط محیطی همچون رطوبت نسبی، غلظت گاز CO_2 و دمای محیط نقش بسزایی در کربناتیون مواد پایه سیمانی دارند. در مراجع مختلف بارها ذکر شده است که رطوبت مطلوب برای رخداد کربناتیون بین ۵۰ الی ۷۰ درصد می باشد [۵۵]. نرخ انتشار گاز CO_2 وابسته به فشار گاز و مکانیزم انتقال آن به داخل بتن خواهد بود [۵۵]. بطور کلی با افزایش رطوبت از ۶۰ درصد، پیشرفت کربناتیون بتن کاهش خواهد یافت [۴۵]. در تحقیقات Leeman و همکارانش مشاهده شد که ضریب انتشار CO_2 برای کلیه طرح هایی که در شرایط طبیعی اما زیر سایان قرار داشتند بطوریکه در معرض تر و خشک شدن های ناشی از عوامل جوی قرار نداشتند از مخلوط هایی که در شرایط طبیعی و در تماس با برف و باران بودند کمتر محاسبه گردیده است و این تفاوت بخصوص برای مخلوط های حاوی دوده سیلیس و روپاره بیشتر از بقیه احساس شده است. آنها معتقدند که علت کاهش ضریب کربناتیون بتن و ملات در ناحیه تماس با عوامل جوی نسبت به ناحیه محافظت شده و زیر سایان، افزایش رطوبت موجود در حفرات بتن می باشد. همچنین گزارش شده است که از آنجاییکه مخلوط های حاوی دوده سیلیس و روپاره دارای حفرات ریز بیشتری نسبت به طرح شاهد می باشد بنابراین برای یک رطوبت نسبی مشخص، در حفرات موئینه این طرح ها مقدار رطوبت بیشتری ناشی از فرآیند جذب موئینه تجمع یافته و سرعت کربناتیون در آنها کاهش بیشتری خواهد یافت. در مرحله خشک شدن باز به دلیل نفوذپذیری کم در این طرح ها، رطوبت موجود به سختی و برای مدت زمان طولانی قادر خواهد بود تا منفذ و حفرات موئینه را ترک کند به همین دلیل باز شرایط محیا خواهد شد تا کربناتیون برای این طرح ها با سرعت کمتری اتفاق افتد [۴۵].

۶. تاثیر کربناسیون بر پیوند یون‌های کلراید

پدیده کربناسیون در بتن همانگونه که پیش تر توضیح داده شد موجب کاهش pH بتن و نهایتاً از بین رفتن لایه محافظت بر روی میلگرد فولادی خواهد شد بنابراین میلگردهای مدفون در بتن به سرعت خورده خواهند شد. از طرف دیگر آنچه کربناته شدن بتن را همزمان با نفوذ یون‌های کلراید با اهمیت می‌کند مکانیزم آزاد شدن یون‌های کلراید مقید شده به دلیل کربناسیون بتن و بنابراین انتشار مجدد یون‌های کلراید به داخل بتن این‌بار با گرادیان غلظتی بیشتر می‌باشد [۶۹]. مطالعات انجام شده در زمینه مطالعه نحوه آزاد شدن یون‌های کلراید و انتشار مجدد آنها به داخل بتن به دلیل کربناسیون محدود به سه نوع روش و فرآیند کلی می‌شوند که عبارتند از:

۱) آزمونه‌ها ابتدا کربناته شده و سپس در معرض یون‌های کلراید قرار داده می‌شوند؛ به عنوان نمونه Hassan و همکارانش سه آزمونه خمیر سیمانی را ابتدا کربناته کرده و سپس در معرض غلظت‌های مختلف از یون کلراید قرار دادند و در انتها مشاهده کردند که هیچگونه پیوندی از یون‌های کلراید در مخلوط‌های سیمانی انجام نگرفته است. در تحقیق دیگری Saillio و همکاران [۶۹] نیز به نتیجه مشابهی رسیدند؛

۲) آزمونه‌ها ابتدا در تماس با یون‌های کلراید قرار گرفته و پس از آن کربناته خواهند شد؛ در این روش که به حالت طبیعی بیشتر نزدیک می‌باشد تحقیقات Suryavanshi [۶۹] نشان داده است که ابتدا یون‌های کلراید توسط فاز آلومیناتی خمیر سیمان (C₂A) جذب شده و پیوند یافته و نمک فریدل تشکیل می‌گردد. در ادامه با کربناته شدن خمیر سیمان (از آنچایه که پایداری نمک فریدل وابسته به pH خمیر سیمان می‌باشد) حالیت نمک فریدل افزایش یافته و یون‌های کلراید پیوند یافته دوباره آزاد خواهند شد بنابراین در این حالت کربناسیون موجب کاهش ظرفیت مقید سازی یون‌های کلراید خواهد شد اما اینکه چه مقدار دقیقاً مشخص نمی‌باشد. در این حالت بر اساس مطالعات Yoon And Zhu [۶۹] مشاهده شد که با کربناته شدن بتن ظرفیت مقید سازی به ۲۵ درصد مقدار اولیه کاهش خواهد یافت؛

۳) یون کلراید همراه ساخت آزمونه‌ها وارد مخلوط شده و آزمونه همزمان در معرض کربناته شدن قرار می‌گیرد. در این حالت نیز نتایج تحقیقات حاکی از آزادسازی یون‌های مقید یافته و افزایش یون کلراید آزاد می‌باشد [۶۹].

براساس مطالعات Liu و همکاران [۶۹] مشاهده گردید که کربناته شدن آزمونه‌های بتنی که در معرض یون کلراید در محیط اتمسفریک بودند منجر به کاهش پیوند یون‌های کلراید شده است بطوریکه برای آزمونه‌های حاوی ۱۵ درصد خاکستر بادی، ظرفیت مقیدسازی یون‌های کلراید از ۱۳ درصد به ۳ درصد تقلیل یافته است. تمامی محققین دلیل این کاهش پیوند یون‌های کلراید را مربوط به آزاد شدن یون‌های پیوند یافته (در این رفتنه نمک فریدل) می‌دانند.

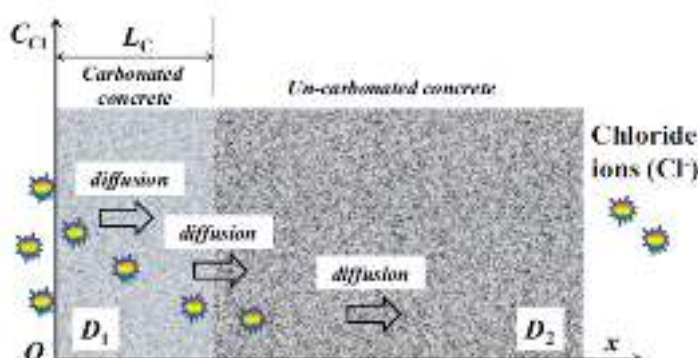
کربناسیون نقش مهمی بر ریزساختار و پیوند یون‌های کلراید خواهد داشت بطوریکه بخصوص زمانیکه از پوزولان استفاده می‌شود با تشکیل کربنات کلسیم و فازهای آلومینو سیلیکاتی موجب کاهش مقدار پرتلندايت، CSH و فازهای AFm و Aft خواهد شد. همچنین کربناسیون موجب کاهش مقدار پیوند یون‌های کلراید با سطوح ماتریس سیمان خواهد شد در همین راستا زمانیکه کربناسیون بصورت کمرنگ صورت می‌پذیرد بطور معمول سه حالت پیش خواهد آمد: ۱) بین یون کلراید و کربنات جهت واکنش با AFm رقابت پیش می‌آید از آنچاییکه کربناسیون زودتر رخ می‌دهد فاز مونوکربوآلومینات در ابتدا تشکیل خواهد شد اما با افزایش غلظت یون کلراید، غلظت مونوکربوآلومینات کاهش و نمک فریدل افزایش می‌یابد (به دلیل جانشینی یونی). اگرچه در مقایسه با مخلوطی که از ابتدا کربناته نشده مقدار نمک فریدل تشکیل یافته کمتر خواهد بود؛ ۲) فرآیند آهک زدایی از AFm و Aft در حین کربناسیون، موجب حرکت آلومینیوم به سمت CSH خواهد شد. از آنچاییکه آلومینیوم به سه یا چهار اتم سیلیسیم متصل می‌باشد دارای پایداری زیادی است و می‌تواند مقداری یون کلراید را جذب و مقید نماید؛ ۳) اتصال آلومینیوم به CSH بارالکتریکی بر روی سطح CSH را تغییر داده و منفی تر خواهد کرد بنابراین CSH مجبور خواهد شد تا مقداری از یون‌های منفی کلراید خود را از دست بدهد. زمانیکه کربناسیون شدید و پررنگ می‌باشد دیگر آثاری از پرتلندايت مشاهده نخواهد شد و مقدار AFm بسیار کم خواهد بود به همین منظور تشکیل نمک فریدل عملاً غیرممکن خواهد شد. همچنین در کربناسیون کامل کربنات کلسیم، پرتلندايت رو آنچنان احاطه نموده که عملاً اجازه تجزیه و تشکیل نمک فریدل داده نمی‌شود. از طرف دیگر بارمنفی ناشی از آلومینیوم بر روی سطوح CSH آنقدر زیاد خواهد بود که کلیه یون‌های کلراید از روی سطح CSH آزاد خواهند شد و عملاً پیوند فیزیکی باقی نخواهد ماند [۷۰].

۷. بررسی تاثیر همزمان رخداد کربناتیون و نفوذ یون کلراید بر خوردگی سازه های بتُنی

همواره برای برخی از سازه ها با شرایط خاص، همچون سازه هایی که در ناحیه اتمسفریک در محیط های دریابی واقع شده اند، کربناتیون و نفوذ یون کلراید به داخل بتُن ممکن است بصورت همزمان یا متوالی صورت پذیرد. مطالعات مختلف نشان داده است که اصولاً این گونه سازه ها باید برای مکانیزم همزمان کربناته شدن و نفوذ یونهای کلراید بررسی و طراحی شوند زیرا که عملآ مطالعه مستقل هر یک از این پدیده ها منجر به نتایجی غیر دقیق خواهد شد. بطور کلی ترکیب کربناتیون و یون کلراید در عمل در دو حالت رویارویی مشاهده خواهد شد: ۱) یونهای کلراید موجود در هوا (سازه های موجود در ناحیه اتمسفریک و واقع در محیط های دریابی) و ۲) رویارویی بتُن با نمک هایی در معرض یخ زدن. در حالت اول قطرات آب آلوده به یون کلراید که از آب دریا یا منبع دیگری ناشی می شوند بر روی سطوح بتُنی مواجه با محیط آلوده به گاز CO_2 قرار می گیرند. در حالت دوم منبع یون کلراید نمک هایی یخ زدا هستند که در فصول سرد سال بر روی سازه های بتُنی در گیر با یخ زدن ریخته می شوند و طبیعتاً سطح بتُن در مواجهه همزمان با یون کلراید و گاز CO_2 موجود در اتمسفر قرار می گیرد. اگرچه Appleton Costa [۷۱] گزارش نمودند که بتُن در ناحیه جذر و مد، آنجا که بتُن دارای رطوبت بالایی می باشد، همچنان در معرض نفوذ شدید یون کلراید و کربناتیون می باشد. شواهد مختلفی حاکی از آن است که همزمانی کربناتیون و نفوذ یون های کلراید منجر به تسريع خوردگی میلگرد های مدفعون در سازه های بتُنی خواهد شد [۷۱].

بطور کلی عملکرد بتُن در برابر تهاجم همزمان یون های کلراید و کربناته شدن بتُن بسیار پیچیده می باشد. کربناته شدن بتُن به طرز قابل ملاحظه ای قادر خواهد بود تا نفوذ یون های کلراید موجود در هوا را تحت تاثیر قرار دهد. به همین دلیل بررسی تاثیر همزمان این دو پدیده از اهمیت بسزایی برخوردار خواهد بود. بر اساس مطالعات مختلفی اثبات شده است که استفاده از خاکستر بادی در سیمان و بتُن منجر به افزایش تخلخل خمیر سیمان در سنین اولیه خواهد شد و همین مسئله منجر به کاهش مقاومت بتُن در برابر نفوذ یون های کلراید و گاز CO_2 خواهد شد [۶۹]. براساس مطالعات Li و همکاران در سال ۲۰۱۹ [۷۲] بر روی مطالعه همزمان نفوذ یون های کلراید و کربناته شدن بتُن گزارش شد که: ۱) کربناتیون بتُن در حالت کلی به دلیل تاثیرات ترکیب شده ناشی از پر شدن حفرات موئینه، افزایش رطوبت در داخل حفرات و تغییر در جذب موئینه یون کلراید منجر به افزایش انتشارپذیری یون های کلراید به داخل بتُن خواهد شد؛ ۲) تاثیر کربناتیون بر انتشارپذیری یون های کلراید برای شرایط رطوبتی متوسط و کم از حفرات موئینه تعیین کننده خواهد بود.

و Page [۷۲] گزارش کردند که با کربناته شدن بتُن، کربنات کلسیم درون حفرات موئینه بتُن رسوب کرده و تخلخل کلی کاهش می یابد اما موجب افزایش حفرات موئینه با اندازه بزرگتر خواهد شد و همین موجب افزایش نفوذ و انتشار اکسیژن و یون کلراید به داخل بتُن کربناته شده خواهد شد. در این حالت هدایت الکتریکی کاهش یافته و نفوذپذیری در برابر گاز افزایش خواهد یافت. از طرف دیگر کربناتیون موجب کاهش ظرفیت جذب یون های کلراید خواهد شد زیرا در این حالت جاذب های یون کلراید به همراه Zn^{2+} و Ca^{2+} مصرف خواهند شد. بنابراین با شروع کربناتیون از سطح بتُن، یون های کلراید مقید شده آزاد شده و ایجاد یک گرادیان غلظتی در سطح بتُن و نهایتاً افزایش نفوذ و انتشار یون ها به داخل بتُن را در بر خواهند داشت. اگرچه در حین این فرآیند به واسطه کربناته شدن پرتلتندایت و Zn^{2+} مقداری آب درون حفرات آزاد شده و میزان رطوبت درون حفرات بالا خواهد رفت. بنابراین مطابق شکل جهت مدل سازی همواره خصوصیات دولایه کربناته شده و کربناته نشده از یکدیگر تمیز داده شده و رفتار هر یک مستقلآ مورد مطالعه قرار می گیرد. (شکل ۳)



شکل ۳- تصویر شماتیک از مکانیزم نفوذ و انتشار یونهای کلراید در بتُن کربناته شده

۸. نتیجه‌گیری

- با توجه به مرور انجام شده بر خوردگی سازه‌های بتنی بر اثر رخداد همزمان کربناسیون و نفوذ یونهای کلراید به داخل بتن، موارد ذیل بصورت خلاصه به عنوان نتیجه‌گیری عنوان می‌شود:
- براساس مطالعات مختلف موجود در ادبیات فنی مشاهده شده است که استفاده از پوزولان ها موجب کاهش مقاومت بتن در برابر کربناته شدن خواهد شد؛
 - براساس مطالعات مختلف مشاهده شده است که در نتیجه کربناسیون خمیر سیمان، تخلخل خمیر سیمان دستخوش تغییراتی خواهد شد که مطالعات مختلف نشان داده که درخصوص سیمان معمولی این تغییرات در جهت کاهش تخلخل و کاهش اتصال و ارتباط میان حفرات خمیر سیمان خواهد بود و برای سیمان‌های آمیخته در چهت افزایش تخلخل کلی در مخلوط خمیر سیمان به همراه پوزولان خواهد بود؛
 - با کربناته شدن ملات یا خمیر سیمان و با تشکیل کلسیت CaCO_3 و تجزیه C-S-H عملاً تخلخل آزمونه در لایه کربناته شده کاهش خواهد یافت اما حفرات موئینه درشت تر خواهند شد بطوریکه درشت شدن حفرات موئینه می‌تواند بر انتشار پذیری موثر واقع شود و نهایتاً با کربناته شدن خمیر سیمان مقدار نفوذپذیری و انتشار گاز اکسیژن افزایش یابد؛
 - پارامترهای موثر بر کربناسیون بتن عبارتند از: نوع و اجزاء طرح مخلوط بتن، نوع سیمان، دما، رطوبت محیط، غلظت گاز CO_2 و در نهایت شرایط رویارویی المان بتنی؛
 - کربناسیون موجب کاهش pH و در نهایت آزاد شدن یونهای کلراید پیوند یافته می‌شود بنابراین آزاد شدن یونها می‌تواند منجر به گرادیان غلظتی در عمق لایه کربناته شده گردد و نفوذ و انتشار یونها به داخل بتن شدت می‌یابد؛
 - در فرآیند نفوذ همزمان یونهای کلراید و کربناسیون، در حالت کلی کربناسیون بتن به دلیل تاثیرات ترکیب شده ناشی از پر شدن حفرات موئینه، افزایش رطوبت در داخل حفرات و تغییر در جذب موئینه یون کلراید منجر به افزایش انتشار پذیری یون‌های کلراید به داخل بتن خواهد شد.

۹. مراجع

- [۱] شکرچی زاده، محمد. چینی، مهدی. دوستی، علی. "خوردگی آرماتور در بتن" انتشارات مرکز تحقیقات راه، مسکن و شهرسازی، چاپ اول ۱۳۹۷.
- [۲] M. Castellote, C. Andrade, Modelling the carbonation of cementitious matrixes by means of the unreacted-core model, UR-CORE, *Cem. Concr. Res.* ۳۸ (۱۲) (۲۰۰۸) ۱۳۷۴–۱۳۸۴.
- [۳] C.A. García-González, A. Hidalgo, C. Andrade, M.C. Alonso, J. Fraile, A.M. López-Periago, et al., Modification of composition and microstructure of Portland cement pastes as a result of natural and supercritical carbonation procedures, *Ind. Eng. Chem. Res.* ۴۵ (۱۴) (۲۰۰۶) ۴۹۸۵–۴۹۹۲.
- [۴] M. Peter, A. Muntean, S. Meier, M. Böhm, Competition of several carbonation reactions in concrete: a parametric study, *Cem. Concr. Res.* ۳۸ (۱۲) (۲۰۰۸) ۱۳۸۵–۱۳۹۳.
- [۵] H. Kuosa, R.M. Ferreira, E. Holt, M. Leivo, E. Vesikari. Effect of coupled deterioration by freeze-thaw, carbonation and chlorides on concrete service life. *Cement & Concrete Composites* ۴۷ (۲۰۱۴) ۳۲–۴۰
- [۶] F. Pacheco Torgal, S. Miraldo, J.A. Labrincha, J. De Brito. An overview on concrete carbonation in the context of eco-efficient construction: Evaluation, use of SCMs and/or RAC. *Construction and Building Materials* ۳۶ (۲۰۱۲) ۱۴۱–۱۵۰.
- [۷] CISA, Corrosion control in Southern Africa, Corrosion Institute of Southern Africa (CISA), in: John J. McEwan (Ed.), Mintek South Africa, ۲۰۰۴, p. ۱۳۶. ISBN ۰-۶20-32198-9.
- [۸] T. Shibata, Cost of corrosion in Japan, *Corros. Sci. Technol.* ۳۱ (۲) (۲۰۰۲) ۹۷–۱۰۲.
- [۹] C. Volkan, Corrosion engineering: the effects and economic impact of corrosion (Chap 1), Wiley-Scrivener, 2014. 287p.
- [۱۰] NACE, Corrosion costs and preventive strategies in the United States FHWARD- ۱-156, NACE International, ۲۰۰۲, p. ۱۲. www.nace.org.
- [۱۱] R.K. Dhir, P.C. Hewlett, Y.N. Chan, Near-surface characteristics of concrete: prediction of carbonation resistance, *Mag. Concr. Res.*, ۴۱, ۱۹۸۹, pp. ۱۳۷–۱۴۳. No. 148, September.

- [12] H. Cui, W. Tang, W. Liu, Z. Dong, F. Xing, Experimental study on effects of CO₂ concentrations on concrete carbonation and diffusion mechanisms, *Constr. Build. Mater.* 93 (2015) 522–527.
- [13] H.-W. Song, S.-J. Kwon, Permeability characteristics of carbonated concrete considering capillary pore structure, *Cem. Concr. Res.* 47 (2007) 9–115.
- [14] J.M. Chi, R. Huang, C.C. Yang, Effects of carbonation on mechanical properties and durability of concrete using accelerated testing method, *J. Mat. Sci. Technol.* 10 (1) (2002) 14–21.
- [15] J-K Kim, C-Y Kim, S-T Yi, Y. Lee, Effect of carbonation on the rebound number and compressive strength of concrete, *Cem. Concr. Compos.* 31 (2) (2009) 139–144.
- [16] V. Rostami, Y. Shao, A.J. Boyd, Carbonation curing versus steam curing for precast concrete production, *J. Mater. Civ. Eng.* (2012) 1221–1222.
- [17] D.W.S. Ho, R.K. Lewis, The specification of concrete for reinforcement protection—performance criteria and compliance by strength, *Cem. Concr. Res.* 18 (4) (1988) 584–594.
- [18] E. Vesikari, Carbonation and Chloride Penetration in Concrete with Special Objective of Service Life Modelling by the Factor Approach, Research Report, VTT-R-04771-09, 2009, 39p. http://www.vtt.fi/files/sites/duraint/task_4_carbonation_and_chloride_penetration_models.pdf (accessed Jan 2016).
- [19] PCA, Types and causes of concrete deterioration, PCA R&D Serial No. 2617. Portland Cement Association, Skokie, Illinois, 2002. <http://www.cement.org/>.
- [20] W. Liu, H. Cui, Z. Dong, F. Xing, H. Zhang, T.Y. Lo, Carbonation of concrete made with dredged marine sand and its effect on chloride binding, *Constr. Build. Mater.* 12 (2016) 1–9.
- [21] Vesikari E, Ferreira RM. Frost deterioration process and interaction with carbonation and chloride penetration – analysis and modelling of test results. VTT research report, VTT-R-02782-11; 2011, p. 42.
- [22] Kuosa H. Concrete durability field testing in Finland. In: Proceedings of Nordic concrete research NCR 2011, Finland; June 2011. p. 247–250.
- [23] Vesikari E. Modeling of carbonation and chloride penetration interacted by frost damage in concrete. In: Proceedings of nordic concrete research NCR 2011, Finland; June 2011. p. 255–258.
- [24] Holt E, Leivo M. Concrete durability based on coupled laboratory deterioration by frost, carbonation and chloride. In: Proceedings of nordic concrete research NCR 2011, Finland; June 2011. p. 239–242.
- [25] NT Build 492, Concrete, mortar and cement-based materials: Chloride migration coefficient from non-steady-state migration experiments; 1999. p. 8.
- [26] CEN/TR 15177, Testing the freeze–thaw resistance of concrete. Internal structural damage; April 2009. p. 34.
- [27] Park GK. Durability and carbonation of concrete. *Mag Korean Concr Inst* 1995;7:74–81.
- [28] J. Khunthongkeaw a, S. Tangtermsirikul a,* T. Leelawat .A study on carbonation depth prediction for fly ash concrete .*Construction and Building Materials* 20 (2006) 744–753.
- [29] Ho D, Lewis R. Carbonation of concrete incorporating fly ash or a chemical admixture. In: First international conference on the use of fly ash, silica fume, slag and other mineral by-products in concrete, vol. SP-79. Montebello, Canada; 1983. p. 333–346.
- [30] Kokubu M, Nagataki S. Carbonation of concrete with fly ash and corrosion of reinforcements in 20 years tests. In: Third international conference on fly ash, silica fume, slag and natural pozzolans in concrete, vol. SP-114. Trondheim, Norway, ACI; 1989. p. 315–29.
- [31] Ogha H, Nagataki S. Prediction of carbonation depth of concrete with fly ash. In: Third international conference on fly ash, silica fume, slag and natural pozzolans in concrete, vol. SP-114. Trondheim, Norway; 1989. p. 275–294.
- [32] Skjolsvold O. Carbonation depths of concrete with and without condensed silica fume. *ACI Special Publications* SP-91; 1986. p. 1031–48.
- [33] Grimaldi G, Carpio J, Raharinaivo A. Effect of silica fume on carbonation and chloride penetration in mortars. In: Mohammed Alasali, editor. *Third CANMET/ACI international conference on fly ash, silica fume, slag and natural pozzolans in concrete;* 1989. p. 320–34.
- [34] Khan M, Lynsdale C. Strength, permeability, and carbonation of highperformance concrete. *Cem Concr Res* 2002;32:123–31.
- [35] Marlova P, Kulakowski a,* Fernanda M. Pereira b, Denise C.C. Dal Molin. Carbonation-induced reinforcement corrosion in silica fume concrete. *Construction and Building Materials* 23 (2009) 1189–1195

- [³⁶] Torii K, Kawamura M. Pore structure and chloride permeability of concretes containing fly ash, blast furnace slag and silica fume. Fly ash, silica fume, slag and natural pozzolans in concrete, vols. SP-132 and 1. Detroit: American Concrete Institute; 1992. p. 135–50.
- [³⁷] Elke Gruyaert, Philip Van den Heede, Nele De Belie. Carbonation of slag concrete: Effect of the cement replacement level and curing on the carbonation coefficient – Effect of carbonation on the pore structure. *Cement & Concrete Composites* 35 (2013) 39–48.
- [³⁸] G.G. Litvan, A. Meyer, Carbonation of granulated blast furnace slag cement concrete during twenty years of field exposure, *ACI SP*. 91 (2) (1986) 1445–1462.
- [³⁹] Warda Ashraf. Carbonation of cement-based materials: Challenges and opportunities. *Construction and Building Materials* 120 (2019) 558–570.
- [⁴⁰] G. Rimmelé, V. Barlet-Gouédard, O. Porcherie, B. Goffé, F. Brunet, Heterogeneous porosity distribution in Portland cement exposed to CO₂-rich fluids, *Cem. Concr. Res.* 38 (8) (2008) 1038–1048.
- [⁴¹] C.A. García-González, A. Hidalgo, C. Andrade, M.C. Alonso, J. Fraile, A.M. López-Periago, et al., Modification of composition and microstructure of Portland cement pastes as a result of natural and supercritical carbonation procedures, *Ind. Eng. Chem. Res.* 45 (14) (2006) 4985–4992.
- [⁴²] P.H. Borges, J.O. Costa, N.B. Milestone, C.J. Lynsdale, R.E. Streatfield, Carbonation of CH and C–S–H in composite cement pastes containing high amounts of BFS, *Cem. Concr. Res.* 40 (2) (2010) 284–292.
- [⁴³] J. Han, Y. Liang, W. Sun, W. Liu, S. Wang, Microstructure modification of carbonated cement paste with six kinds of modern microscopic instruments, *J. Mater. Civ. Eng.* (2014).
- [⁴⁴] S. Pihlajavaara, Some results of the effect of carbonation on the porosity and pore size distribution of cement paste, *Matér. Constr.* 1 (2) (1968) 521–522.
- [⁴⁵] A. Leemann, P. Nygaard, J. Kaufmann, R. Loser, Relation between carbonation resistance, mix design and exposure of mortar and concrete, *Cem. Concr. Compos.* 62 (2015) 33–43.
- [⁴⁶] L. De Ceukelaire, D. Van Nieuwenburg, Accelerated carbonation of a blast-furnace cement concrete, *Cem. Concr. Res.* 23 (1993) 442–452.
- [⁴⁷] Song HW, Kwon SJ. Permeability characteristics of carbonated concrete considering capillary pore structure. *Cement Concrete Res* 2007;37(6):9–15.
- [⁴⁸] Claisse PA, El-Sayad H, Shaaban IG. Permeability and pore volume of carbonated concrete. *Aci Mater J* 1999;96(3):378–81.
- [⁴⁹] Chang CF, Chen JW. Strength and elastic modulus of carbonated concrete. *Aci Mater J* 2004;102(5):315–21.
- [⁵⁰] Peter MA, Muntean A, Meier SA, Böhm M. Competition of several carbonation reactions in concrete: a parametric study. *Cement Concrete Res* 2008;38(12):1385–93.
- [⁵¹] Borges PHR, Costa JO, Milestone NB, Lynsdale CJ, Streatfield RE. Carbonation of CH and C–S–H in composite cement pastes containing high amounts of BFS. *Cement Concrete Res* 2010;40(2):284–92.
- [⁵²] V. Ngala, C. Page, Effects of carbonation on pore structure and diffusional properties of hydrated cement pastes, *Cem. Concr. Res.* 17 (1997) 995–1007.
- [⁵³] H. Kuosa a, R.M. Ferreira a,b, E. Holt a, M. Leivo a, E. Vesikari. Effect of coupled deterioration by freeze–thaw, carbonation and chlorides on concrete service life. *Cement & Concrete Composites* 47 (2012) 32–40.
- [⁵⁴] Hongzhi Cui a, Waiching Tang b, Wei Liu a, Zhijun Dong c, Feng Xing a.. Experimental study on effects of CO₂ concentrations on concrete carbonation and diffusion mechanisms. *Construction and Building Materials* 93 (2015) 522–527.
- [⁵⁵] Branko Šavija a, Mladena Lukovic .Carbonation of cement paste: Understanding, challenges, and Opportunities. *Construction and Building Materials* 117 (2017) 285–301.
- [⁵⁶] S.E. Pihlajavaara, Some results of the effect of carbonation on the porosity and pore size distribution of cement paste, *Mater. Constr.* 52 (1968) 1–52 (7).
- [⁵⁷] E.G. Swenson, P.J. Sereda, Mechanism of the carbonation shrinkage of lime and hydrated cement, *J. Appl. Chem.* 18 (4) (1968) 111–117.
- [⁵⁸] J.J. Chen, J.J. Thomas, H.M. Jennings, Decalcification shrinkage of cement paste, *Cem. Concr. Res.* 37 (5) (2007) 801–809.
- [⁵⁹] DuraCrete. Compliance testing for probabilistic design purposes (DuraCrete project document BE95-1347/R8). Netherlands: The European Union-Brite EuRam III; 1999.
- [⁶⁰] Wiering P. Long time studies on the carbonation of concrete under normal outdoor exposure. In: RILEM symposium on durability of concrete under normal outdoor exposure. Hannover; 1984.

- [⁶¹] Tam V, Wang K, Tam C. Assessing relationships among properties of demolished concrete, recycled aggregate and recycled aggregate concrete using regression analysis. *J Hazard Mater* 2008;152:703–14.
- [⁶²] Brown JH. The effect of exposure and concrete quality: field survey results from some 400 structures. In: The 5th international conference on the durability of materials and components. Brighton; 1991. p. 249–259.
- [⁶³] Muntean A, Böhm MA. Moving-boundary problem for concrete carbonation: global existence and uniqueness of weak solutions. *J Math Anal Appl* 2009;350:234–51.
- [⁶⁴] Schutter G, Audenaert K. Evaluation of water absorption of concrete as a measure for resistance against carbonation and chloride migration. *Mater Struct* 2004;37:591–6.
- [⁶⁵] Roziere E, Loukili A, Cussigh F. A performance based approach for durability of concrete exposed to carbonation. *Constr Build Mater* 2009;23:190–9.
- [⁶⁶] Balayssac J, Detriche H, Grandet J. Effects of curing upon carbonation of concrete. *Constr Build Mater* 1995;9:91–5.
- [⁶⁷] Bai J, Wild S, Sabir B. Sorptivity and strength of air-cured and water-cured PC–PFA–MK concrete and the influence of binder composition on carbonation depth. *Cem Concr Res* 2002;32:1813–21.
- [⁶⁸] F. Pacheco Torgal a,†, S. Miraldo b, J.A. Labrincha b, J. De Brito c. An overview on concrete carbonation in the context of eco-efficient construction: Evaluation, use of SCMs and/or RAC. *Construction and Building Materials* 36 (2012) 141–150.
- [⁶⁹] ingressJun Liu, Qiwen Qi, Xiaochi Chen, Xiaodong Wanga, Feng Xinga, Ningxu Han, Yijian He. Degradation of fly ash concrete under the coupled effect of carbonation and chloride aerosol ingress. *Corrosion Science* 112 (2016) 364–372.
- [⁷⁰] Mickael Saillio, Véronique Baroghel-Bouny, Fabien Barberon. Chloride binding in sound and carbonated cementitious materials with various types of binder. *Construction and Building Materials* 68 (2014) 82–91.
- [⁷¹] Y. Wang, S. Nanukuttan, Y. Bai, P.A.M. Basheer. Influence of combined carbonation and chloride ingress regimes on rate of ingress and redistribution of chlorides in concretes. *Construction and Building Materials* 140 (2017) 173–183.
- [⁷²] Kefei Li, Fuyao Zhao, Yiming Zhang. Influence of carbonation on the chloride ingress into concrete: Theoretical analysis and application to durability design. *Cement and Concrete Research* 123 (2019) 105788.